ACTA MECHANICA SINICA

Vol. 2, No. 1 Jan., 1958

# 粘土層沉陷(由于固結和次时間 效应)的二維問題\*

陳宗基

(中国科学院土木建筑研究所

## 提 要

本文指出現行的沉陷計算方法不考虑因均差应力(Deviatoric stresses)而产生的沉陷是不正确的。文中証明了均差应力張量不能忽略,而土壤的結構对均差应力的反应(与时間因素有关)則必須考虑。作者根据他自己的关于粘土層固結与流变的理論,提供几个二維問題的分析,証明了总沉陷可以分为三部分,即瞬时下沉,因流变而产生的和因固結而产生的沉陷,并且提出了时間为很大数值时的沉陷公式。可以断言,在实际中,沉陷不能單从压縮試驗来估計。在二維問題中,土壤的固結与古典的一維固結情形迥然不同,因为土壤总是有橫向膨脹的。均差应力就是粘土在荷載下瞬时下沉(Instantaneous deflection)和不断流变的原因。

# 緒言

在土力学中,沉陷計算通常采用从一維情形导出的公式。当竪向荷載的范圍与土層厚度相較是很大的时候,整个系統可以当作一維情形。根据这个概念,人們在实际中想从压縮試驗来估計沉陷;在这种試驗中橫向变形不可能产生。当土層厚度与基脚橫向尺寸相較是很大的时候,土層常常被分为若干个水平層,每層用一維情形的沉陷公式来計算,竪向应力的分布則按布兴奈斯(Boussinesq)公式計算。

由于土壤的力学行为的复杂,迄今尚無滿意的計算沉陷的方法。通常,理論与經驗的公式联合应用,导致許多矛盾,因为这些公式是基于不同的概念。比如讓我們来分析特扎基(Terzaghi)<sup>2)</sup>的一維沉陷公式和布兴奈斯的应力分布公式的联合应用。在实际中,我們碰到的都是多維情形,因为严格来說,粘土層总会有橫向变形,古典的一維情形在实际中是不能出現的。特扎基把土壤的骨構当作可压縮的但具有不同的膨脹和压縮模量的材料,即当作不完全可逆的可压縮的材料。但他沒有作出进一步的关于土壤流变性質的說明,比如关于土壤对于剪应力的反应。与此相反,布兴奈斯明确地假定他的材料为一綫性彈性体。所以这兩个理論所根据的基本概念是很不同的,因而上述計算沉陷的方法缺乏健全的理論基础。这个方法还有一个缺点,即时間因素对沉陷过程的影响無法考虑进去。

注: 原稿为英文,題名 "Two Dimensional Problem of Settlement of Clay Layers due to Consolidation and Secondary Time Effect". 刘恢先譯.

<sup>\* 1957</sup> 年 9 月 5 日收到,本文曾在 1957 年 2 月全国力学学术报告会上宣讀。

这一点可以直接看出如下:在压縮試驗中,土壤的孔隙水可从試样的上下面自由滲出,但 这样的边界条件不能在分割的水平土層中获得,所以,压縮試 驗 中的 时 閱 效 应(Time effect) 一点也不能表示沉陷的增加为时間的函数的实际情形, 因此, 只有最后的沉陷能 够作为各水平層的極限沉陷的总和估計出来。柴多維奇(ILbITOBIA)1)給出了这样的計算 公式幷附有計算应力分布的圖表。細节可参閱他所著的書。

应用上述計算方法便無法考虑均差应力張量,作者認为恰恰是这个应力張量导致土 壤的連續粘滯流变和瞬时下沉,因此全部沉陷不能用上述寬行公式来計算。 均差应力張 量的影响可用下面的例子来說聘, 讓我們把一塊厚橡皮放在絕对剛硬的桌面上,幷在局 部加置荷載橡皮面上就發生与时俱增的沉陷,由于橡皮是不可压縮的(v=1/2), 体积变 化不可能發生,因此全部沉陷都是均差应力的影响。 这个例子可以引伸到充滿水分的粘 土層,在此情形,在受局部荷載后的瞬时下沉完全是剪力作用的后果,因为这时 t=0,沒 有孔隙水挤出来(土壤骨構的滲透性很低),因而沒有体积变形产生。所以多維問題只能 用考虑了均差应力張量的理論来解决。第一个考虑了这个均差应力張量的理論是格色凡 諾夫(Герсеванов)® 提出的;呼洛林(Флорин)Ф 和比阿(Biot)® 也會經提 出 过 三 維 理 論。 但是倫都里克 (Rendulic)<sup>6)</sup> 特扎基<sup>7)</sup> 卡里路(Carillo)<sup>8)</sup> 等人关于土壤固結的多維理 論則 不能認为是正确的,因为剪应力完全被忽略, 比阿理論的缺点是忽略了由于剪应力作用 的时間效应。作者的意見是,粘滯流变\*是粘土流变性質的基本構成部分,在計算中是不 能忽視不顧的。根据特扎基2) 的經驗,在大多数的地基中都發生着流变的情形。

根据实驗和实际事实,作者曾尝試建立一个新的、考虑了土壤骨構的固結和流变的理 論,在这里,土壤被認为是綫性、粘彈性(Visco-elastic)幷且有低透水性而又充滿水分的 材料, 为了数学上的簡便,采用了麦克斯韋尔(Maxwell) 模型来描述土壤骨構的流变行 为. 下面提出了关于二維問題的若干解答,这些解答是以作者为肥粘土导出的微分方程 为根据.

微分方程的求解 如果不考虑体积力,二維問題的微分方程式®)如下:

$$-\psi \triangle u + (\Theta + \psi/3) \partial \varepsilon / \partial x + \partial \sigma_w / \partial x = 0, 
-\psi \triangle w + (\Theta + \psi/3) \partial \varepsilon / \partial z + \partial \sigma_w / \partial z = 0, 
p\varepsilon = -K \triangle \sigma_w, 
\Delta \varepsilon = \beta^2 \varepsilon, 
\varepsilon = -(\partial u / \partial x + \partial w / \partial z);$$
(1)

式中:

u和w为x与z方向的变位;

 $\sigma_w$ =水压力;

 $\Delta = \frac{\partial^2}{\partial x^2} + \frac{\partial^2}{\partial z^2}$  拉普拉斯算子(Laplace Operator);

 $K = k/\eta_w$  其中 k 为土壤骨架的滲透系数,  $\eta_w$  为孔隙水的粘滯系数;

 $\psi = \frac{\eta G p}{\eta p + G}$  其中 G 为剪切模量,  $\eta$  为土壤結構的剪切粘滯系数;

p 黑維賽得算子 (Heaviside's Operator);

<sup>\*</sup> 注:粘滯流变不能和塑性理論中的塑性流变相混同,塑性流变是在总合应力超过一定限度时立即爱生,而粘 滞流变总是在粘滯彈性材料中發生。

 $\Theta = \frac{E}{3(1-2\nu_s)}$ ,其中  $\nu_s$  为彈性变形的泊桑比(Poisson's ratio);

$$\beta^2 = \frac{1}{3K\Theta} \frac{(ap+3E)p}{bp+E}$$
,这是以算子形式写出,

其中

$$E=2G(1+\nu_e)$$
,  $a=6\eta(1+\nu_e)$ ,  $b=6\eta(1-\nu_e)$ .

在上列微分方程中,压应力称为正号应力,压縮变形称为正号变形。 可以証明,下面的式子是微分方程(1)的解答:

$$\begin{aligned} &u = i \exp(i\Omega x) \left[ \exp(\Omega z) A_1 - \exp(-\Omega z) A_2 + \left\{ \left[ 1 + \Omega z \right] \exp(\Omega z) B_1 + \right. \\ & + \left[ 1 + \Omega z \right] \exp(-\Omega z) E_2 \right\} / 2 \psi \Omega - \left\{ \exp(Mz) C_1 + \exp(-Mz) C_2 \right\} \Omega / \beta^2 \right], \\ &w = \exp(i\Omega x) \left[ \exp(\Omega z) A_1 + \exp(-\Omega z) A_2 + z \left\{ \exp(\Omega z) B_1 + \right. \\ & + \exp(-\Omega z) B_2 \right\} / 2 \psi + \left\{ \exp(-Mz) C_1 - \exp(Mz) C_2 \right\} M / \beta^2 \right], \\ &\sigma_w = \exp(i\Omega x) \left[ \exp(\Omega z) B_1 + \exp(-\Omega z) B_2 - \right. \\ &\left. - \left\{ \exp(Mz) C_1 + \exp(-Mz) C_2 \right\} / \alpha \right], \\ &s = \exp(i\Omega x + Mz) C_1 + \exp(i\Omega x - Mz) C_2, \end{aligned}$$

式中:  $\Omega=2\pi/$ 波長;

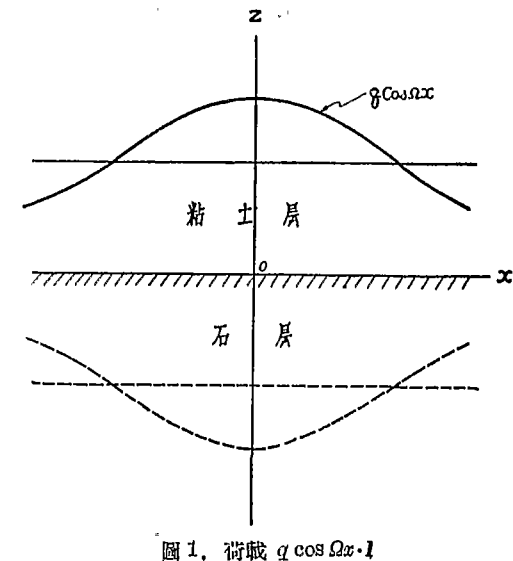
$$\begin{split} M^2 = \Omega^2 + \beta^2 &= \Omega^2 + \frac{1}{3K\Theta} \cdot \frac{(ap + 3E)p}{bp + E}; \\ \alpha &= \frac{1}{3\Theta} \cdot \frac{ap + 3E}{bp + E}. \end{split}$$

在上列方程式中,  $A_1$ ,  $A_2$ ,  $B_1$ ,  $B_2$ ,  $C_1$  和  $C_2$  都是积分出来的"常数",它們都是算子 p的函数,因而是时間的函数。

#### 余弦函数型的荷載

設有一均勻厚度 h 的粘土層复盖在半無限体的石層上,假定石層是絕对剛硬和不透 水的;并假定它和粘土層的接触面沒有壓擦,使剪应力不可能在此处發生。在粘土層的上

表面,孔隙水可自由地挤出,并假定剪应力在 此处也不能發生. 当然,假定粘土層的上、下 面都沒有摩擦是在悲观的一面, 我們也可以 假定上、下面都沒有水平位移产生,但这样的 假定是在乐观的一面。 所以, 作者贊成第一 个假設,因为它是在安全方面并且在本文所 考虑的情形(卽粘土層复盖于土体之上)之下 是合理的, 假定荷載具有無限大的范圍幷按 余弦函数  $q \cos \Omega x$  变化,而且在时間 t=0 时 就开始作用。 再者, 土壤过去受应力的历史 不予考虑,因此,用运算数学的語言来說,荷 載的弧度是  $q \cos \Omega x \cdot I$  (見圖 1)。如果  $x \rightarrow$ 面取在石層的表面, z 軸的正向向上, 則边界 条件如下;



 $\begin{array}{lll} & \exists z=0: & \exists z=h: \\ 1. & w=0, & 4. & \sigma_w=0, \\ 2. & \tau_{xz}=0, & 5. & \tau_{xz}=0, \\ 3. & \frac{\partial \sigma_w}{\partial z}=0, & 6. & \sigma_z=2\psi\varepsilon_z+(\Theta-2\psi/3)\varepsilon+\sigma_w=q\cos\Omega x\cdot 1. \end{array}$ 

这个情形对 $\alpha$ 轴和对z轴都是对称的。 所以只须3个"积分常数" $\hat{\mathcal{C}}_1$ ,  $\hat{\mathcal{C}}_2$ , 和 $\hat{\mathcal{C}}_3$ 来代替解答(2)中的6个常数 $A_1$ , … $C_2$ 。

可以証明在对称的情形下,下列公式是前述微分方程的解答,

$$\begin{split} &u=\sin\Omega x\{-\cosh\Omega z\hat{C}_{1}-\cosh\Omega z\hat{C}_{2}/2\psi\Omega-z\sinh\Omega z\hat{C}_{2}/2\psi+\Omega\cosh Mz\hat{C}_{3}/\beta^{2}\}\,,\\ &w=\cos\Omega z\{\sinh\Omega z\hat{C}_{1}+z\cosh\Omega z\hat{C}_{2}/2\psi-M\sinh Mz\hat{C}_{3}/\beta^{2}\}\,,\\ &\sigma_{w}=\cos\Omega x\{\cosh\Omega z\hat{C}_{2}-\cosh Mz\hat{C}_{3}/\alpha\}\,,\\ &\varepsilon=\cos\Omega x\cosh Mz\hat{C}_{3}\,. \end{split} \tag{3}$$

下面只計算了粘土層上表面的堅向变位 W。根据上列 6 个边界条件,W 可以从下列公式計算:

$$w_{z=h} = -\cos\Omega x \cdot \sinh\Omega h \hat{C}_2/2\psi\Omega$$
,

式中:

$$\hat{C}_2 = \frac{q}{\cosh \Omega h} \frac{p \tanh \Omega h}{(p+2\psi K\Omega^2) \tanh \Omega h - 2\psi K\Omega M} \tanh M h + p\Omega h/\cosh^2 \Omega h} \cdot 1.$$
令 W 表示沉陷  $(W = -W_{sph})$  得:

$$W = \frac{h\cos\xi x/h}{2\psi\xi} \frac{p\tanh^2\xi}{pQ - 2\psi KP/h^2} q \cdot 1, \qquad (4)$$
  
$$\xi = \Omega h,$$

式中:

$$Q = \tanh \xi + \xi/\cosh^2 \xi,$$
  
$$P = \xi(Mh \tanh Mh - \xi \tanh \xi).$$

必須記住在公式(4)中, $\psi$ 和M都是以算子形式写出,以p代表黑維賽得算子。有了公式(4),就可能計算在二維对称荷載下的沉陷。

#### 当时間 t 为很大数值时的沉陷

現在来寻求当时間为很大数值时的解答。在此情形,算子 p 和帶算子形式的  $\beta^2$  可以当作極小的数量。应用中值定理可証明 P < 3/4  $\beta^2h$  因而 P 是 p 的一次式。所以,沉陷 W 的公式(4)可以展开为下列級数:

$$W = h \frac{\cos \xi x/h}{2\psi \xi} \frac{\tanh^2 \xi}{Q} \left\{ 1 + \frac{2\psi}{Q} \frac{KP}{ph^2} + \left( \frac{2\psi}{Q} \frac{KP}{ph^2} \right)^2 + \cdots \right\} q \cdot \mathbf{I}. \tag{5}$$

在后面,所有  $\beta^2h^2$  的二次及更高次的項(即  $p^2$ ,  $p^3$  ···等)都忽略不計;可以証明,作为时間算子的  $KP/p^2h^2$ ,它的每次方將帶进  $K\beta^2/p$  的同次方与相应的  $\xi$  的函数的乘积,但是  $\xi$  的函数是与时間無关的。可以看出,第一、二、三各項相应地包含下列算子:  $\frac{1}{\psi}\cdot \mathbf{1}$ ,  $\frac{\beta^2}{\psi}\cdot \mathbf{1}$ ,  $\psi\left(\frac{\beta^2}{p}\right)^2$ 。用  $F_1(t)$ ,  $F_2(t)$ ,  $F_3(t)$ ·····相应地表示上列函数,则得下列关系:

$$\frac{1}{\psi} \cdot \mathbf{I} = F_1(t) = \frac{1}{G} \left( 1 + \frac{t}{\mu} \right), \tag{5.1}$$

$$\frac{\beta^2}{p} \cdot \mathbf{I} = F_2(t) = \frac{1}{K\Theta} \{ 1 - (1 - g^2) \exp(-g^2 t/\mu) \}, \tag{5.2}$$

$$\psi \left(\frac{\beta^2}{p}\right)^2 \cdot \mathbf{1} = F_3(t) = \frac{G}{K^2 \Theta^2} g^2 \{g^2 - (1 - g^2) g^2 t / \mu\} \exp(-g^2 t / \mu), \qquad (5.3)$$

式中:

$$g^2 = \frac{1 + \nu_o}{3(1 - \nu_o)};$$

 $\mu = \eta/G$ , 表示土壤骨構的松弛时間 (Relaxation time).

对于这些时間的函数,可作出下列注解:

- 1.  $F_1(t)$  只台  $\mu$ , G 而不含 K 和  $\Theta$ , 所以  $F_1(t)$  代表沉陷的直綫上升部分, 这部分沉陷完全是均差应力的結果;
- 2. 当时間为很大数值时, $F_2(t)$  接近于一常数,等于  $1/K\Theta$ 。 在后面还会证明从  $F_2(t)$  可得出由于固結而产生的沉陷的时間函数;
- 3. 当时間为很大数值时, $F_3(t)$  及更高次的时間函数接近于零,因此第三項及以后各項可以忽略不計(見后面对于第三項的估計);
- 4. 所有指数函数的指数內含有  $g^2/\mu$ 。 物理上的意义如下:  $\mu=\eta/G$  愈大,則土壤骨構的流变愈小,要在更長的时間才能达到最終稳定狀态。 这个結論是和实际相符的。对于軟弱的粘土層,終極的均速沉陷曾經在兩年或更短时間之內观察到。但根据記录,有的剛硬粘土層的稳定狀态在 25 年內才达到。

为了更深入地了解公式(5)的物理意义,我們来研究一下当 $\xi = \Omega h \to 0$ 的極限狀态。 在此情形,均匀竪向荷載的波長与粘土層厚度相較可謂無限大。 第一項得出:

$$\frac{hg}{4}\cos\frac{\xi x}{h}\cdot\frac{1}{\psi}\cdot\mathbf{I} = \frac{hq}{4G}\cos\frac{\xi x}{h}\left(1+\frac{t}{\mu}\right),\tag{5.4.1}$$

第二項变換为:

$$\frac{hq}{4}\cos\frac{\xi x}{h}\frac{K\beta^2}{p}\cdot\mathbf{I} = \frac{hq}{4\Theta}\cos\frac{\xi x}{h}.$$
 (5.4.2)

第一項代表土壤对于純均差应力的反应,在古典的一維情形是不出現的。 这是由于在古典一維情形中,假定了沒有橫向位移發生。当然,橫向位移在二維情形下是可能的。当余弦荷載的波長为無限大,如同我們所研究的極限情形,橫向位移同样可能;因为在华波長的地方(卽很远的地方)粘土可以有橫向的移动。但如果粘土層边界上的剪应力不忽略的話,橫向位移的發生是不会那样显著的。因此,作者在前面曾指出,这些解答是在悲观的一面。他曾經特地挑选这个边界条件来表明剪应力对变形的最大影响。如果拿一个与古典一維情形相似但不完全相同的情形来研究,則第二項必須考虑。 这一項包含压縮模量 Ø;对于不可压縮的材料, Ø 成为無限大,第二項等于零。 所以很明显,第二項和土力学中的固結具有相同的意义。

#### 均匀的帶形荷戴

現在提出下面的例子。 在一水平范圍为無限大,厚度为h的粘土層上放置一寬度为2L. 長度为無限大的直綫帶形荷載;为了数学上的簡便,假定荷載面积以外的面积不受

荷載.前5个边界条件保持和余弦荷載一致.帶形荷載的强度为 qkg/cm²,可用下列富里哀积分代表:

$$\frac{2}{\pi} \int_0^\infty \frac{\cos \xi x/h \cdot \sin \xi L/h}{\xi} d\xi \cdot q \cdot \mathbf{1} = \begin{cases} q \cdot \mathbf{1}, & |x| < L; \\ 0, & |x| > L. \end{cases}$$

如果加入新的符号  $\delta_1$  和  $\delta_2$ ,它們决定于:

$$\delta_1 = (x-L)/h$$
,  $\delta_2 = (x+L)/h$ ,

則上列积分可以变换为:

$$\frac{1}{\pi} \int_0^\infty \frac{\sin \delta_2 \xi - \sin \delta_1 \xi}{\xi} \, d\xi \cdot q \cdot \mathbf{1}.$$

当时尚为很大数值时,沉陷可从下列公式算出:

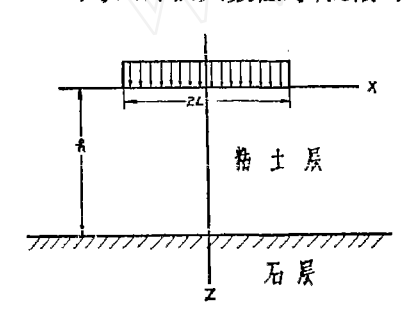


圖 3. 均匀带形荷载

$$W = \frac{hq}{\pi} \int_0^\infty \frac{\sin \delta_2 \xi - \sin \delta_1 \xi}{2\psi \xi^2 Q} \tanh^2 \xi \cdot \left\{ 1 + \frac{2\psi}{Q} \frac{KP}{ph^2} + \left( \frac{2\psi}{Q} \frac{KP}{ph^2} \right)^2 + \cdots \right\} d\xi \cdot \mathbf{1}. \tag{6}$$
可以看出上式右侧的單位是長度。

現在来考虑下列积分:

$$\mathcal{I}_1 = \int_0^\infty \frac{\sin \delta \xi \tanh^2 \xi}{2\xi^2 Q \psi} d\xi \cdot \mathbf{1},$$

$$\mathscr{I}_{2} = K \int_{0}^{\infty} \frac{\sin \delta \xi \tanh^{2} \xi}{\xi^{2} Q^{2}} \frac{P}{ph^{2}} d\xi \cdot I,$$

$$\mathcal{I}_3 = 2K^2 \int_0^\infty \frac{\sin \delta \xi \tanh^2 \xi}{\xi^2 Q^3} \left(\frac{P}{ph^2}\right)^2 \psi d\xi \cdot \mathbf{I}_{\bullet}$$

可以証明,所有的积分函数都是屬于下列形式:

$$F(\xi)\Phi(p)\cdot \mathbf{1}$$
.

这个形式对数值积分是十分适合的。 为了算出这些积分,可以采用著名的费隆 (Filon)。 公式:

$$\int_a^b f(\xi) \sin \delta \xi d\xi = h \left[ -\alpha \left\{ f(b) \cos \delta b - f(a) \cos \delta a \right\} + \beta s_{2s} + \gamma s_{2s-1} \right].$$

在这个公式里,积分的范围被分为 2n 等分,每等分为 h=(b-a)/2n,系数  $\alpha$ ,  $\beta$  和  $\gamma$  都是  $\delta h$  的函数,可以列成表格。再者,  $s_{2s}$  代表曲綫  $f(\xi)\sin\delta\xi$  在积分限值 a 和 b 之間的偶数堅坐标的总和,减去第一个和最后一个堅坐标的一半; 單数坐标的总和則用  $s_{2s-1}$  代表。上述計算应按  $\delta_2$  及  $\delta_1$  分别进行,然后从前者减去后者。对前两个积分将具体进行計算,但对第三个积分只作一估計。

### ℐ₁ 的計算

应用 Q 的式子, 可写出:

$$\mathcal{I}_1 \!=\! \int_0^\infty \frac{\sin\delta\xi \tanh^2\xi}{2\xi^2Q} \; d\xi \; \frac{1}{\psi} \cdot \boldsymbol{I} \!=\! \int_0^\infty \frac{\sin\delta\xi}{\xi^2} \; \frac{\sinh^2\xi}{\sinh2\xi + 2\xi} \; d\xi \; \frac{1}{\psi} \cdot \boldsymbol{I}.$$

 $\mathscr{I}_1$  的积分范围将分为雨部分: $0 \le \xi \le 3$  和 $3 \le \xi \le \infty$ ,相应的积分称为  $\mathscr{I}_{11}$  和  $\mathscr{I}_{12}$ 。第一个积分可利用费隆公式直接算出。但如 $\delta$  的数值很大,则計算十分繁复,因为当 $\delta$  很大时,正弦函数跳动得很剧烈。因此不如用迥路积分法(Contour integration)来計算积分  $\mathscr{I}_1$ 

从0到∞的数值。这方面的結果以后再發表。

在第二部分  $3 \le \xi < \infty$  范圍里面,下式可以成立:

$$\frac{\sinh^2 \xi}{\sinh 2\xi + 2\xi} = \frac{1}{2}.$$

这样写, 誤差不超过 3.5%, 所以积分 少, 的第二部分可以写为:

$$\mathscr{I}_{12} = \frac{1}{2} \int_{8}^{\infty} \frac{\sin \delta \xi}{\xi^{2}} d\xi = \frac{\sin 3\delta}{6} - \frac{\delta \operatorname{Oi}(3\delta)}{2}.$$

所以第一項在沉陷 平 里面所占部分,即因流变而产生的沉陷(次时間效应)可以从下式得出:

$$W_{1} = \frac{hq}{\pi} \{ (\mathscr{I}_{11} + \mathscr{I}_{12}) \delta_{2} + (\mathscr{I}_{11} + \mathscr{I}_{12}) \delta_{1} \} F_{1}(t), \qquad (6.1)$$

式中  $F_1(t)$  取决于公式(5.1)。

現在来研究一种特殊情形,即  $\delta \xi$  很小,它的正弦函数可以用其宗量来代替;积分  $\mathcal{I}_1$  可以变换为:

$$\mathscr{I}_{1} = \delta \int_{0}^{3} \frac{\sinh^{2} \xi}{\xi \left(\sinh 2\xi + 2\xi\right)} d\xi \frac{1}{\psi} \cdot \mathbf{I} + \frac{1}{2} \int_{3}^{\infty} \frac{\sin \delta \xi}{\xi^{2}} d\xi \frac{1}{\psi} \cdot \mathbf{I}.$$

进一步計算,得出下列 $W_1$ 的公式:

$$W_1 = \frac{hq}{\pi} \left\{ 2.34 \frac{L}{h} + \frac{1}{2} \frac{x - L}{h} \operatorname{Ci}\left(3 \frac{x - L}{h}\right) - \frac{1}{2} \frac{x + L}{h} \operatorname{Ci}\left(3 \frac{x + L}{h}\right) \right\} F_1(t) .$$

借助于小数值的  $\delta$  的展开:  $Ci(3\delta) \sim 0.577 + ln(3\delta)$ , 得

$$W_1 = \frac{q}{2\pi} \left\{ 3.49L + x \ln \frac{|x - L|}{x + L} - L \ln \frac{9|x^2 - L^2|}{h^2} \right\} F_1(t) . \tag{6.1.1}$$

可以看出这部分沉陷随  $h^2$  的对数值而增加。这个公式适用于 h 比 (x-L) 和 (x+L) 大得很多的时候,亦即粘土層很厚的时候。

現在来考虑另一極限情形,卽粘土層厚度与(x-L)和(x+L)相較非常小,卽  $\delta \to \infty$ . 积分仍分为兩部分計算,卽  $0 \le \xi \le \xi_1$  和  $\xi_1 \le \xi \le \infty$ ;  $\xi_1$  很小, $\sinh \xi_1 = \xi_1$  可以成立.下列积分必須算出:

$$\mathscr{I}_{1} = \int_{0}^{f_{1}} \frac{\sin \delta \xi}{4\xi} d\xi + \int_{f_{1}}^{\infty} \frac{\sin \delta \xi}{\xi^{2}} \frac{\sinh^{2} \xi}{\sinh 2\xi + 2\xi} d\xi.$$

对于  $\delta$  的大数值(即  $\delta \rightarrow \infty$ ),第一項得出  $1/4\mathrm{Si}(\delta \xi_1)_{\delta \rightarrow \infty} = \pi/8$ ;但第二項得不出数值,因正弦函数跳动得十分剧烈,故得:

$$W_1 = \frac{hq}{4G} \left(1 + \frac{t}{\mu}\right)$$
.

这与前面在余弦荷载,波長为無限大时获得的結果相同(見 5.4.1) 夕。的計算

現在考虑第二个积分:

$$\mathcal{I}_2 = K \int_0^\infty \frac{\sin \delta \xi \tanh^2 \xi}{\xi^2 Q^2} \frac{P}{ph^2} d\xi \cdot \mathbf{I}.$$

积分的路綫將分为兩部分, $0 \leqslant \xi \leqslant 1$ ,和  $1 \leqslant \xi < \infty$  相应的积分称为  $\mathcal{I}_{21}$  和  $\mathcal{I}_{22}$ . 可以証

ı

明在第一积分范圍,如果忽略P的二次方和更高次方,則P可以近似地用下式表示:

$$P = \beta^2 h^2 \left( \xi - \frac{2}{3} \xi^3 + \frac{2}{5} \xi^5 \right),$$

第一个积分成为:

$$\mathcal{I}_{21} = K \int_{0}^{1} \frac{\sin \delta \xi}{\xi} \frac{\tanh^{2} \xi \left(1 - \frac{2}{3} \xi^{2} + \frac{2}{5} \xi^{4}\right)}{(\tanh \xi + \xi / \cosh^{2} \xi)^{2}} d\xi \frac{\beta^{2}}{p} \cdot \mathbf{1} = -K \int_{0}^{2} \frac{\sin \delta \xi}{\xi} \frac{\sinh^{2} 2\xi \left(1 - \frac{2}{3} \xi^{3} + \frac{2}{5} \xi^{3}\right)}{(\sinh 2\xi + 2\xi)^{2}} d\xi \frac{\beta^{2}}{p} \cdot \mathbf{1}.$$

此式可借助于前面討論过的费隆的方法进行計算。

在第二积分范圍  $1 < \xi < \infty$ , P 可以近似地写为:

$$P = \frac{1}{2} \beta^2 h^2 (\tanh \xi + \xi/\cosh^2 \xi),$$

在这里忽略了 p 的二次方和更高次方。第二个积分可以写成:

$$\mathscr{I}_{22} = K \int_{1}^{\infty} \frac{\sin \delta \xi}{\xi^2} - \frac{\sinh^2 \xi}{\sinh 2\xi + 2\xi} d\xi \cdot \frac{\beta^2}{p} \cdot \mathbf{1}.$$

这个积分在計算。《时出现过,仅仅积分的下限和时間的函数有所不同。如果考虑到下列 关系: $\int_{0}^{\infty} = \int_{0}^{\infty} \int_{0}^{1}$ ,《 的积分結果可以引用。因此,仅仅从  $\theta$  到 1 間的积分需要算出,此后  $\mathscr{S}_{22}$  就可以直接找出。

对于第二项在沉陷中所占的部分,下面的公式是适用的;

$$W_2 = \frac{hq}{\pi} \{ (\mathscr{I}_{21} + \mathscr{I}_{22}) \delta_2 - (\mathscr{I}_{21} + \mathscr{I}_{22}) \delta_1 \} F_2(t) . \tag{6.2}$$

式中,  $F_2(t)$  取决于公式(5.2).

这个公式給出由于固結的沉陷,应用与  $\mathcal{L}$  相同的計算方法,在  $\delta$  为大数值的情形,可以發現  $\mathcal{L}_{21}$  二  $\pm \pi/2$ ,正  $\mathcal{L}$  或负号取决于  $\delta$  的符号;而由于正弦函数急剧跳动的結果  $\mathcal{L}_{22}$  接近 干零。在这个  $\mathcal{L}_{23}$  的極限情形,得  $\mathcal{L}_{23}$  =  $hq/4\Theta$ ;在無限波長余弦荷載的情形,曾經获得相同的結果(見 5.4.2)。設  $\delta$  为無限大,則得一維情形,但这与古典的一維情形不同。 在前一情形,土壤可以在横向自由移动;而在后一情形,土壤完全被限制。 如果假定在粘土 屠的边界上不可能發生位移,就得到与古典一維情形更相符合的情形。

#### **%** 的估計

可以証明

$$P = \beta^2 h^2 Q$$
.

借助于上列不等式,第三个积分少。可以估計如下:

$$\begin{split} \mathscr{I}_{3} = 2K^{2}\psi \int_{0}^{\infty} \frac{\sin\delta\xi \tanh^{2}\xi}{\xi^{2}Q^{3}} \left(\frac{P}{ph^{2}}\right)^{2}d\xi \cdot \mathbf{I} + 4K^{2}\int_{0}^{\infty} \frac{\sin\delta\xi \sinh^{2}\xi}{\xi^{2}(\sinh2\xi + 2\xi)} d\xi \left(\frac{\beta^{2}}{p}\right)^{2}\psi \cdot \mathbf{I} = \\ = \frac{4G^{2}}{G^{2}} \mathscr{I}_{1} \frac{F_{3}(t)}{F_{*}(t)}, \end{split}$$

式中,  $F_s(t)$  可在公式(5.3)得出。

因此, $\mathscr{I}_3$ 的数值是 $\left(\frac{4G^2}{\Theta^2} \frac{F_3(t)}{F_4(t)}\right)$ 与第一項的乘积。在实际中,系数  $\frac{4G^2}{\Theta^2}$ 的数值約在 0.2

到 0.3 左右。当时間为大数值时, $F_8(t)$  随指数規律減小,而  $F_1(t)$  随时間的一次方增加。因此,第三項也許可以在沉陷計算中忽略。

#### 总沉陷

总沉陷可用前兩項的和来代表:

$$W = W_1 + W_2$$

(7)

这公式將总沉陷写成粘土層的流变和固結兩种效应的总合。

比阿基于他的理論算出了無限厚結土層的沉陷。他只研究了因固結而产生的沉陷,而沒有研究由于均差应力而产生的沉陷,从数学观点来看,半無限体的解答比有限厚度的粘土層的解答来得簡單。本文第二項的結果可以当作極厚粘土層由于固結而产生的沉陷的近似值。但如果計算第一項 W<sub>1</sub> (它給出由均差应力所产生的沉陷),从公式(6.1.1)可以看出其結果为無限大。这个結果也可以从彈性理論得知。

#### 結 論

从上面的計算,可以清楚地看出实际沉陷的估計不能單純基于压縮試驗来进行,因为在压縮試驗中, $W_1$ 一項無法考虑,而在时間为很大数值时,它可以变成为很大的数值。在这里还可以指出,因固結而产生的沉陷  $W_2$  也和一維理論所預期的結果不同。这是由于土壤能在横向变形的后果,这一效应在粘土層的边界沒有剪应力时尤为显著。

上面导出的公式在时間为大数值时是有效的,只要材料保持統計上的均值(Statistically equivalent)。从特扎基和其他研究者所进行的观测可以断言,这个不变的統計状态(Constant statistical state)能持續几年以至几十年。当土壤密度的变化增大到这样的程度,即达到由于体积减小而产生的硬化效应不能忽略的时候,上面的公式很可能不再生效。在这种情形,我們必須研究非綫性現象,但这就超出本文的范圍了,还可以指出,上面的分析只有在粘土可以滿足作者在他的理論<sup>7)</sup>中所作出的假設的时候才会有效。根据作者所做的試驗,这些假設仅仅对于肥粘土和汗泥才是合理的。

#### 参考文献

- [1] Цытович Н. А., (1951) Механики грунтов, Москва.
- [2] Terzaghi, K., (1948) Theoretical Soil Mechanics, Ch. XIII, New York.
- [3] Горсованов Н. М. и Польшин Д. Е., (1948) Теоретические основы механики груптов, глава VIII, IX.
- [4] Флории В. А., (1938) "К вопросу о гидродинамических напряжениях, в Грунтовей Массе".
- [5] Biot, M. A., (1941) J. Appl. Phys. 12, 155, 426, 578.
- [6] Rendulic, L., (1985) Wasserwirtsch. u. Technik 2, 250; (1986) Bauingenieur 17, 559; (1987) 18, 459.
- [7] Terzaghi, K., (1935) De Ingenieur 50, B 239; 51, B 263; (1953) Proc. 3rd IÇOSOMEF, III, 158, Zürich.
- [8] Carillo, N., (1942) J. Math. Phys. 21, 1.
- [9] Tan, Tjong-kie 陈宗基, (1954) "Investigations on the Rheological Properties of Clays", Dr. Sc. Techn. thesis, Delft Techn. Univ.; (1953) Proc. 3rd ICOSOMEF, III, 169, Zürich. 中国科学 1957. VI, 1, 203.

# TWO DIMENSIONAL PROBLEMS OF SETTLEMENTS OF CLAY LAYERS DUE TO CONSOLIDATION AND SECONDARY TIME EFFECTS

Tan, Tiong-kie

(Institute of Civil Engineering, Academia Sinica)

#### Synopsis

It is pointed out that the settlement due to deviatoric stresses is incorrectly disregarded in conventional methods of calculation. It is shown that the deviatoric tensor of stress can not be neglected, whereas the time dependent response of the soil skeleton to deviatoric stresses should be taken into account. On the base of his theory on the consolidation and flow of clay-layers the author presents an analysis on several two dimensional problems. It is shown that the total settlement may be considered as consisting of three main components, viz. instantaneous settlement and settlements due to flow and due to consolidation. Settlement formulas are presented for large values of time. It is concluded that settlements in practice can not be predicted merely from oedometer tests. The consolidation in two dimensional problems turns out to behave quite differently from that of the classical one-dimensional case, as the soil can always deform laterally. The deviatoric stresses are responsible for the instantaneous deflection and the continuous flow of the clay mass.